

FIG. 1

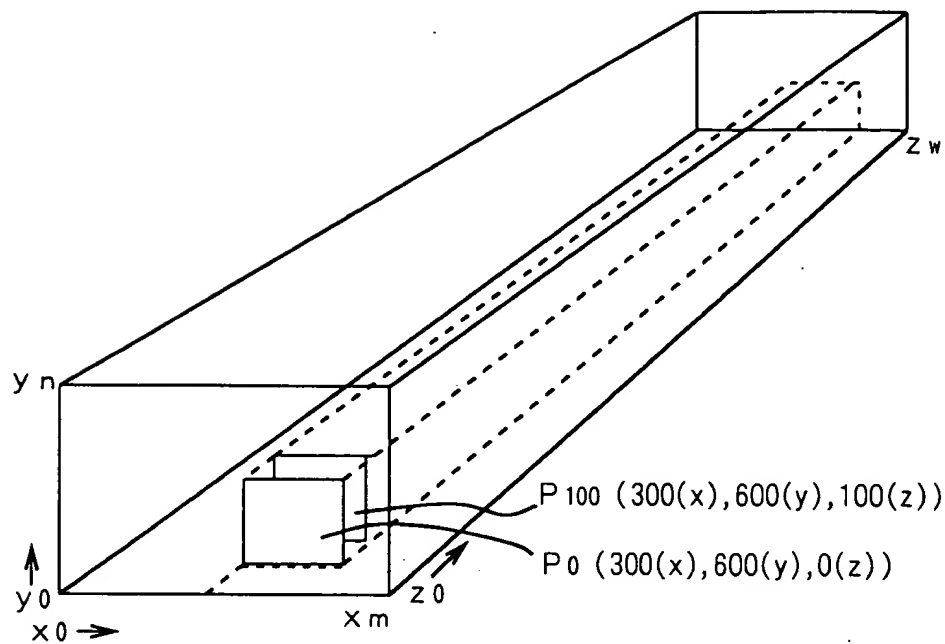


FIG. 2A

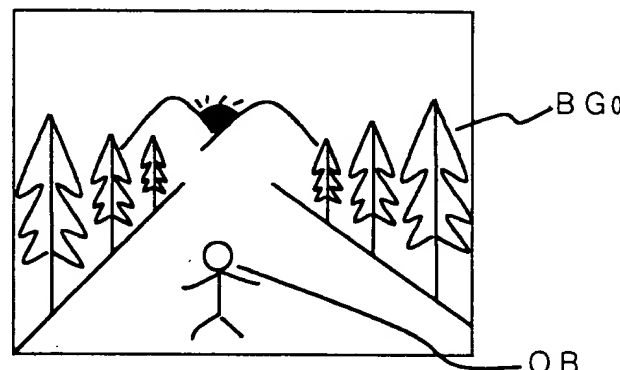


FIG. 2B

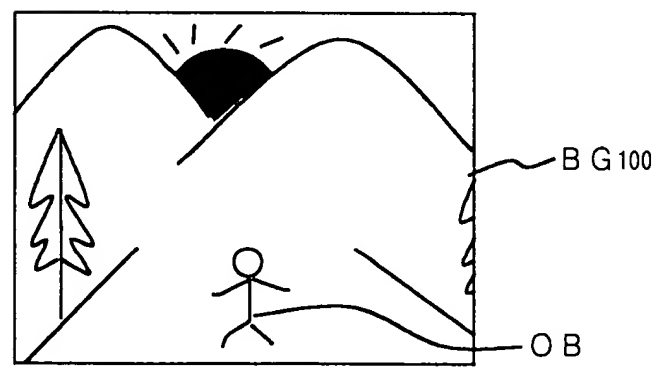


FIG. 2C

FIG. 3A

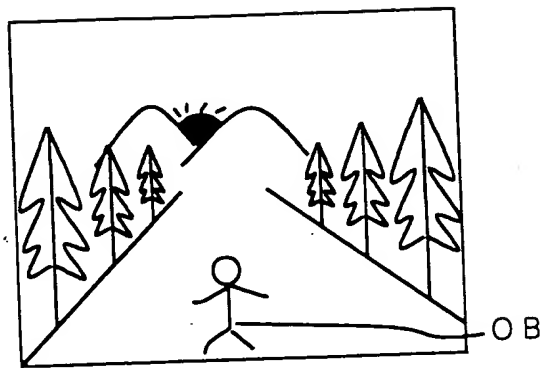


FIG. 3B

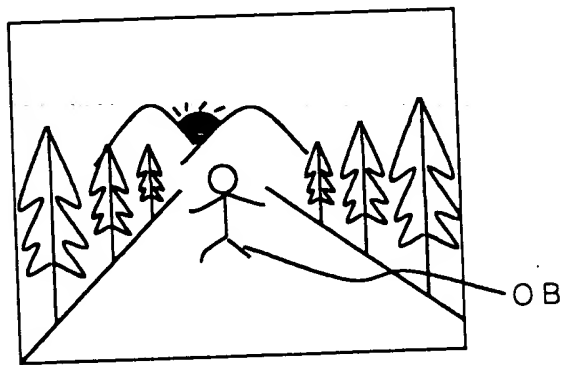


FIG. 3C

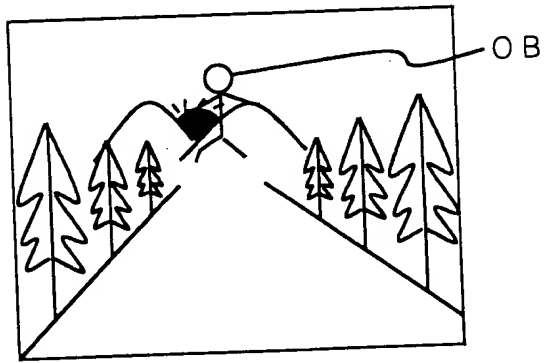
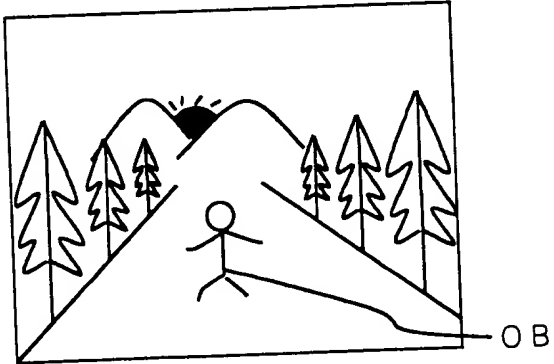


FIG. 3D



PRESSURE-SENSING VALUE	VELOCITY COEFFICIENT
0~5	1
6	E 1
7	E 2
⋮	⋮
255	E 255

FIG. 4A

PRESSURE-SENSING VALUE	VELOCITY COEFFICIENT
0~5	1
6	F 1
7	F 2
⋮	⋮
255	F 255

FIG. 4B

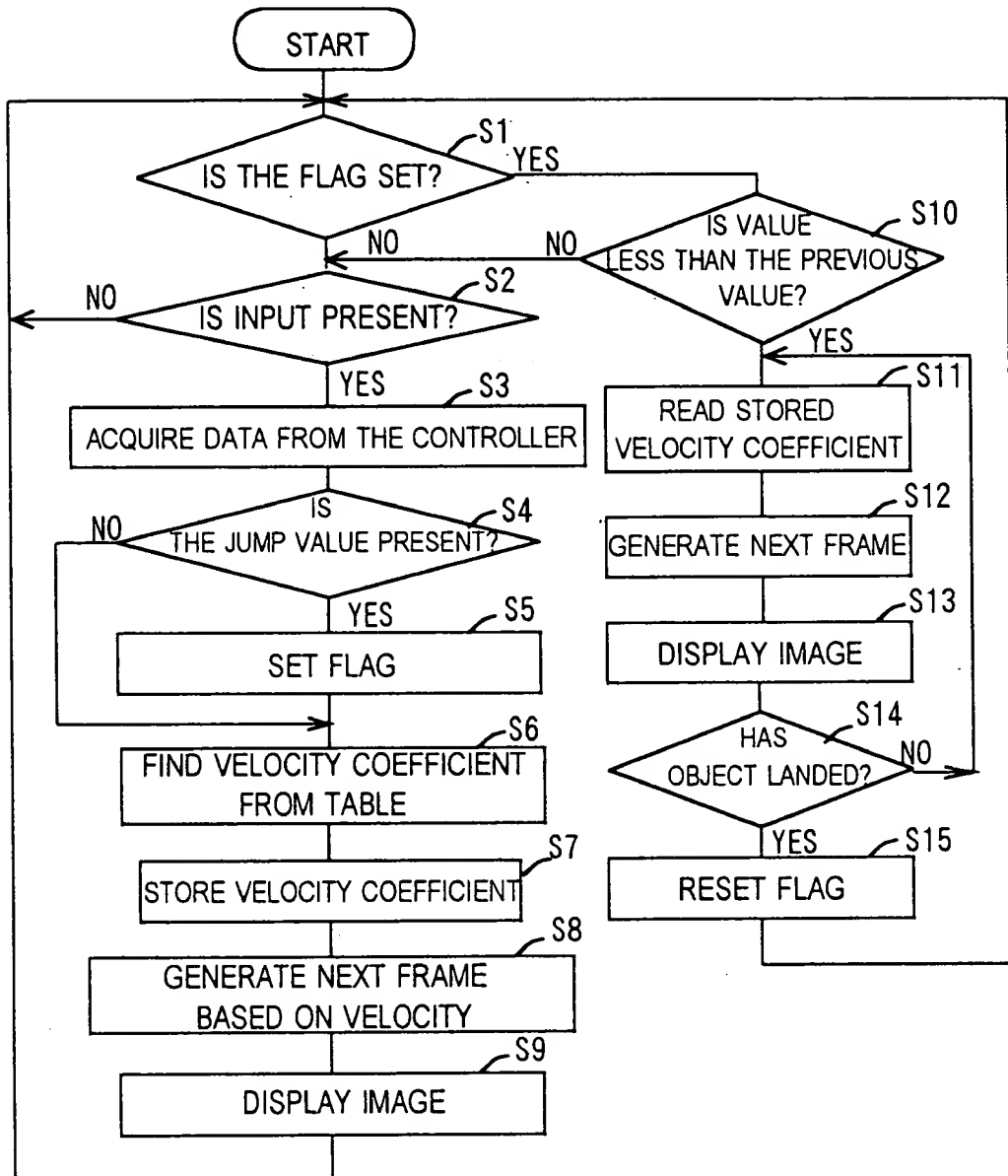


FIG. 5

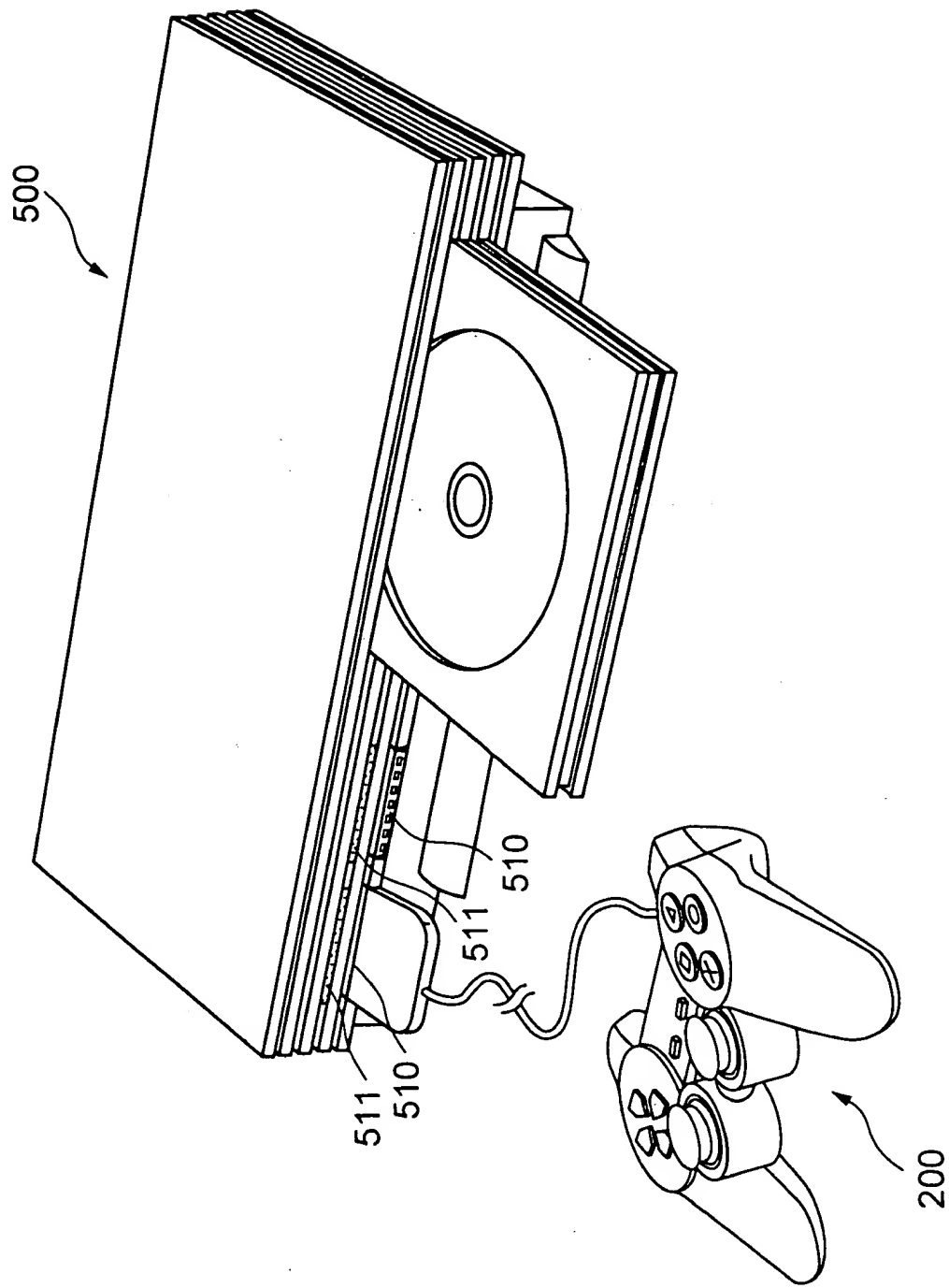


FIG. 6

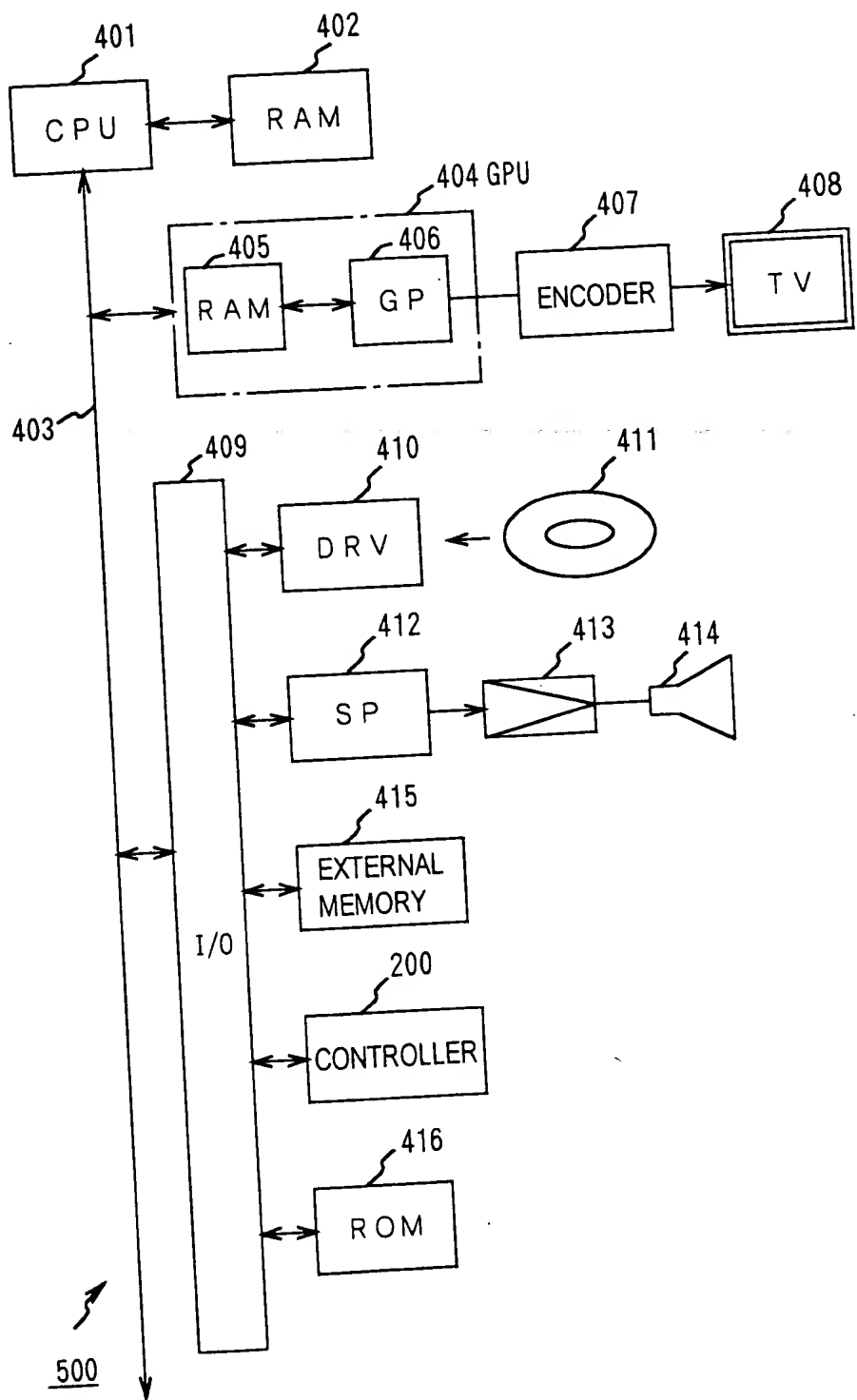
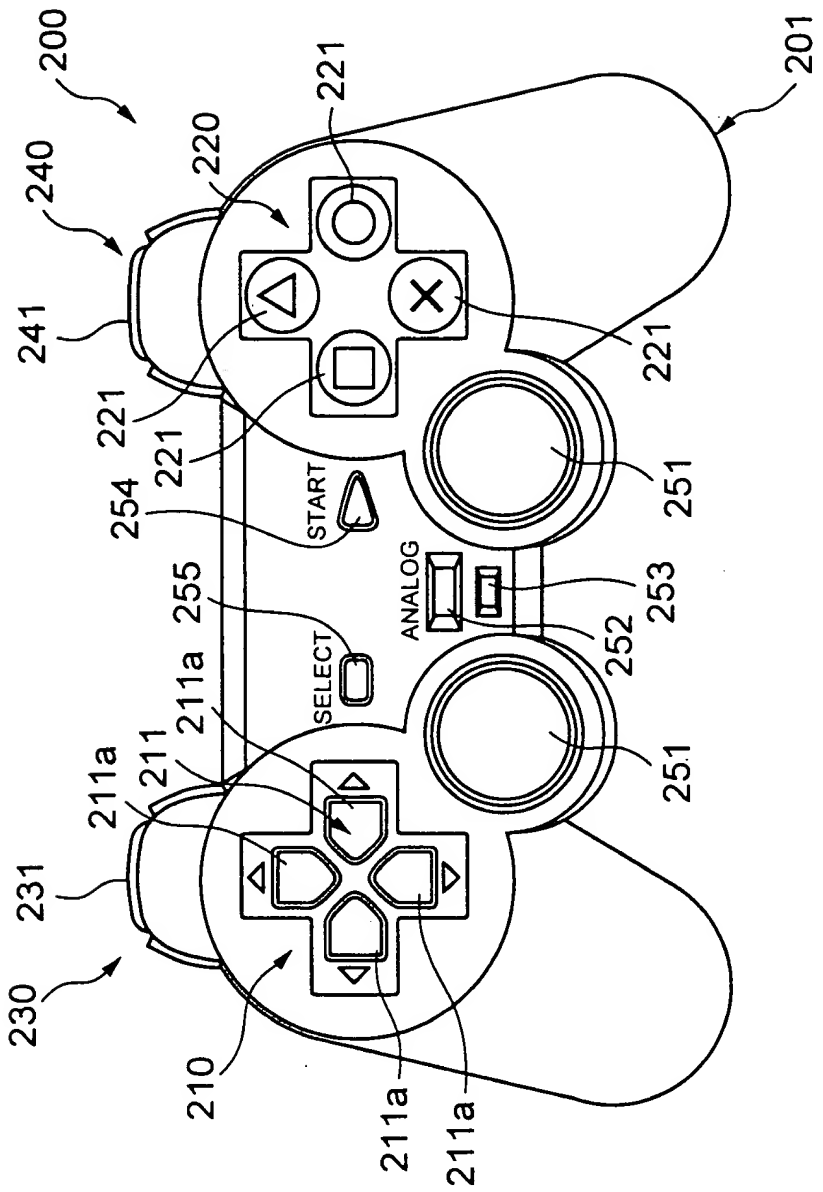


FIG. 7



8
FIG.

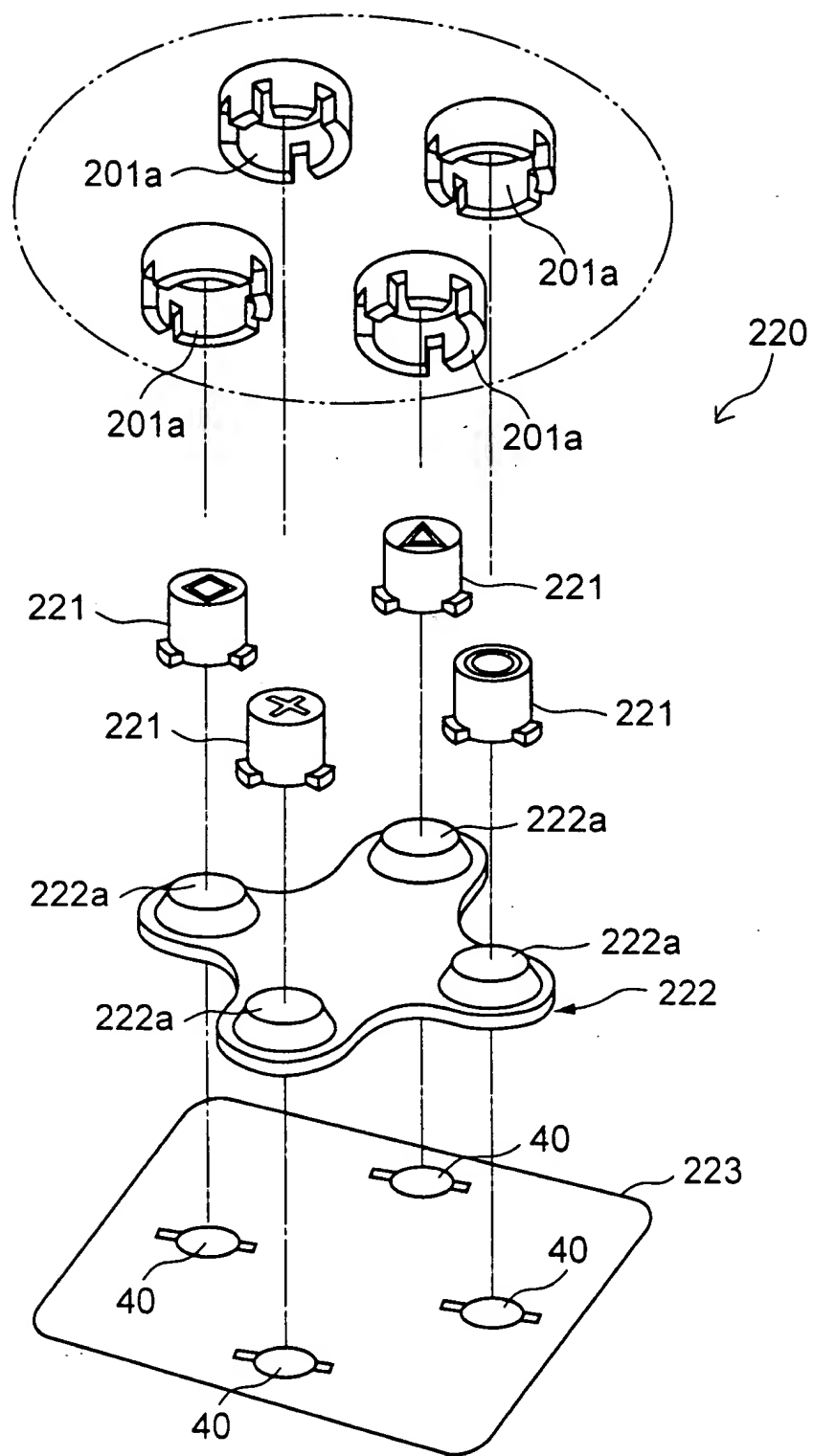


FIG. 9

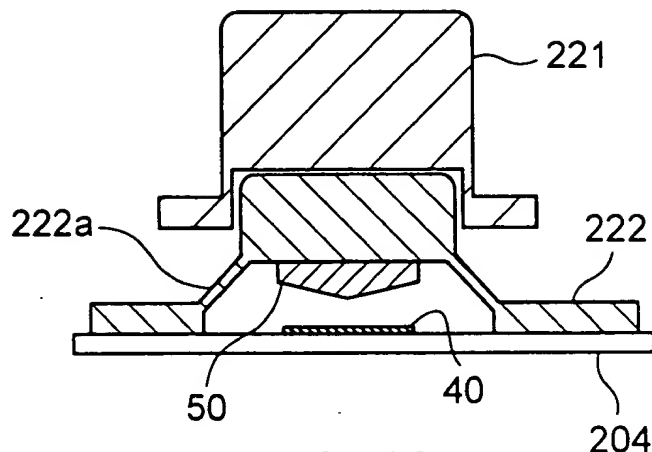


FIG. 10A

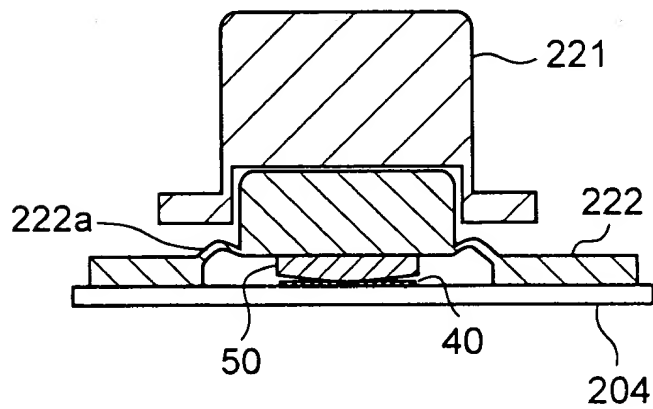


FIG. 10B

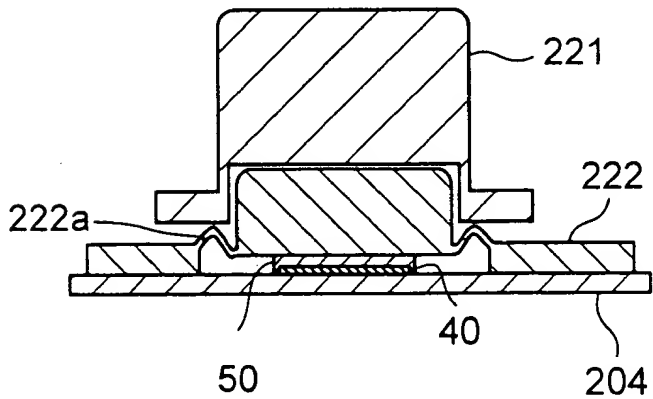


FIG. 10C

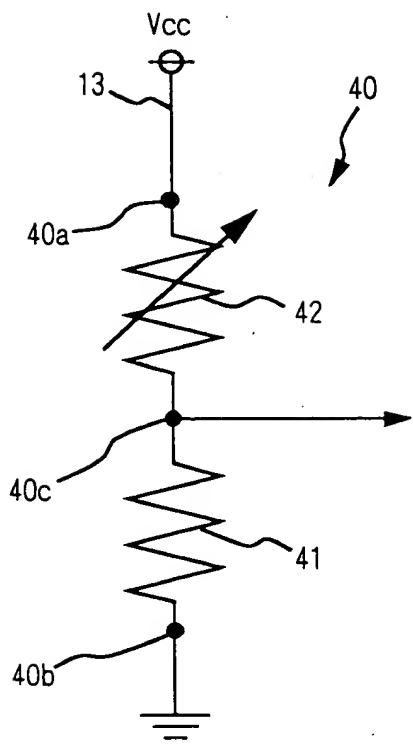


FIG. 11

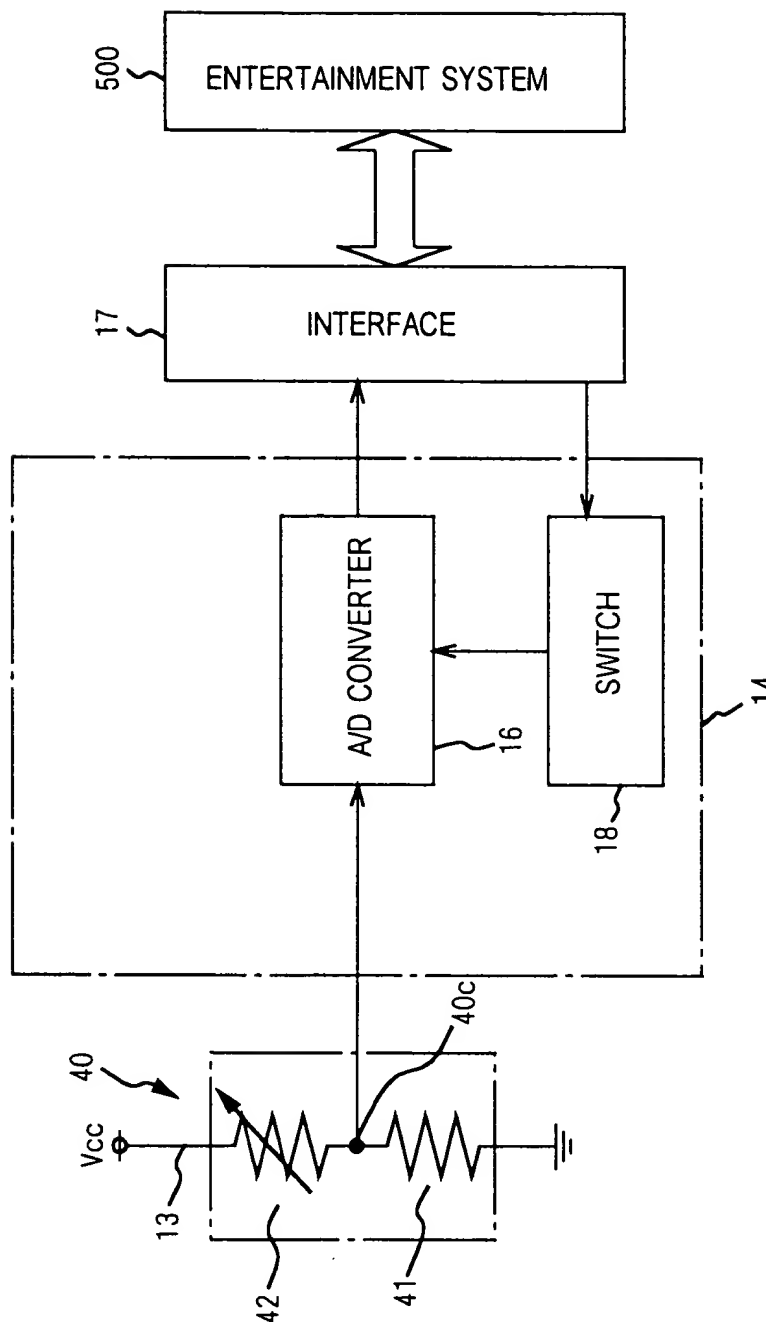


FIG. 12

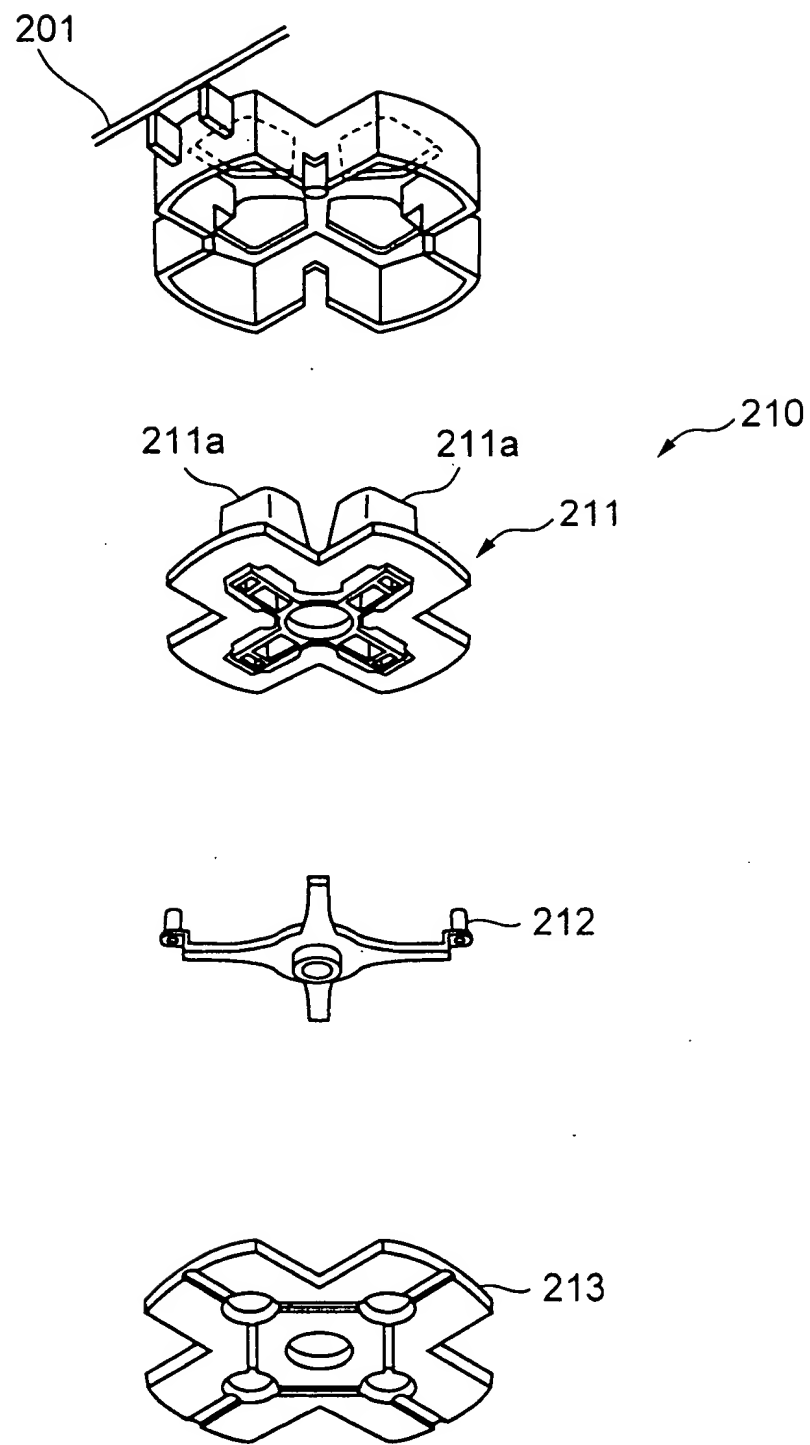
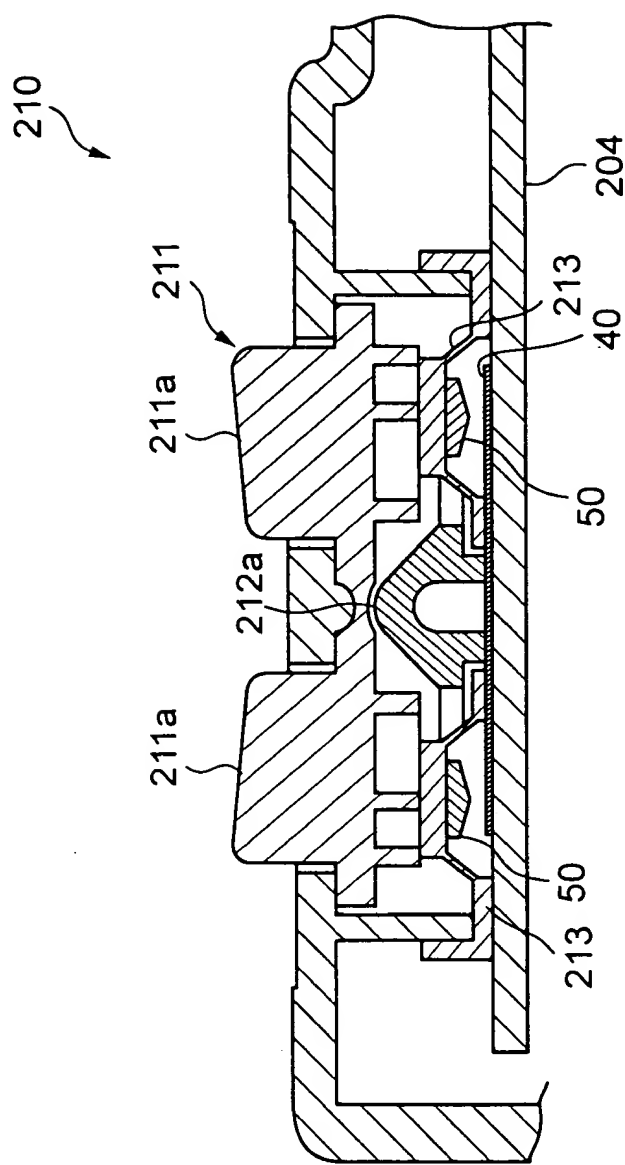
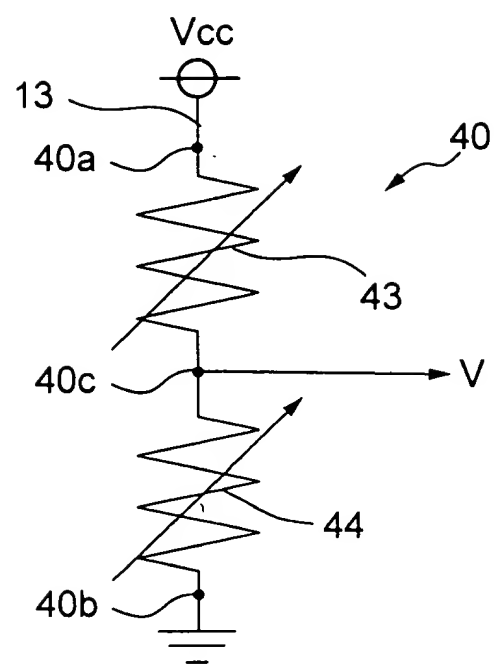


FIG. 13

FIG. 14





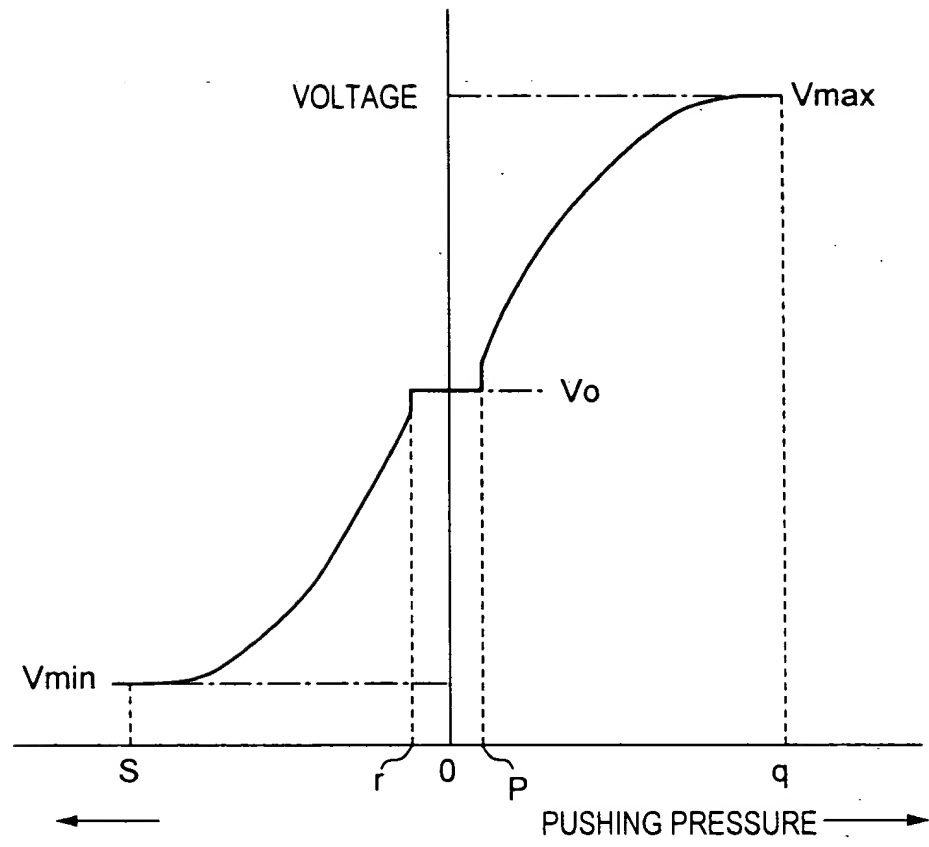


FIG. 16

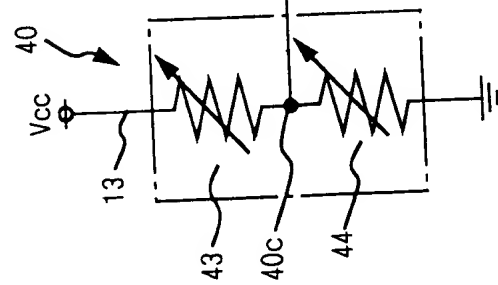
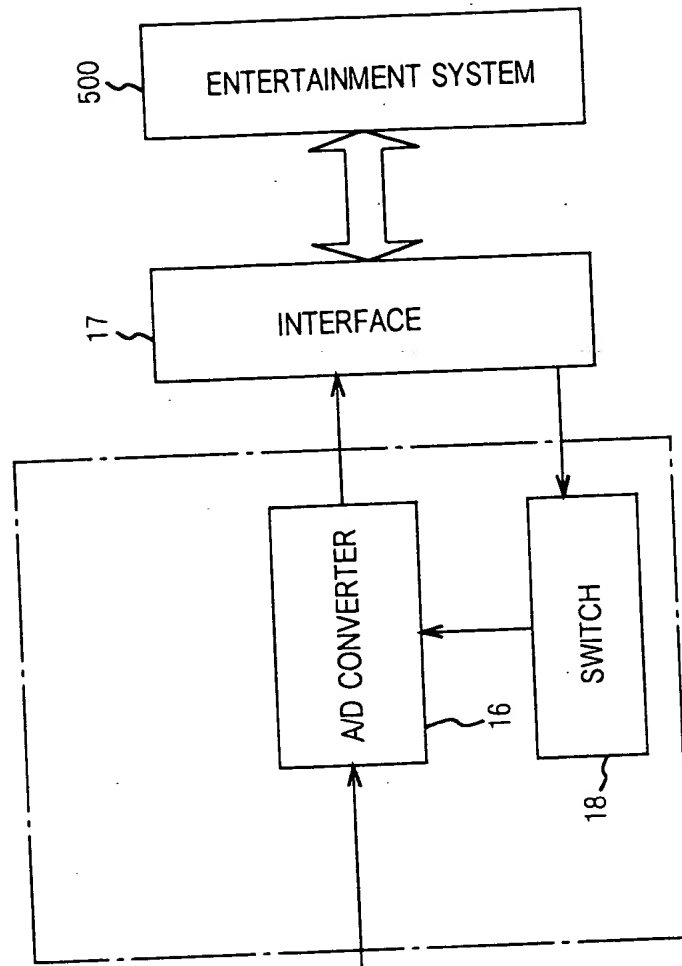


FIG. 17

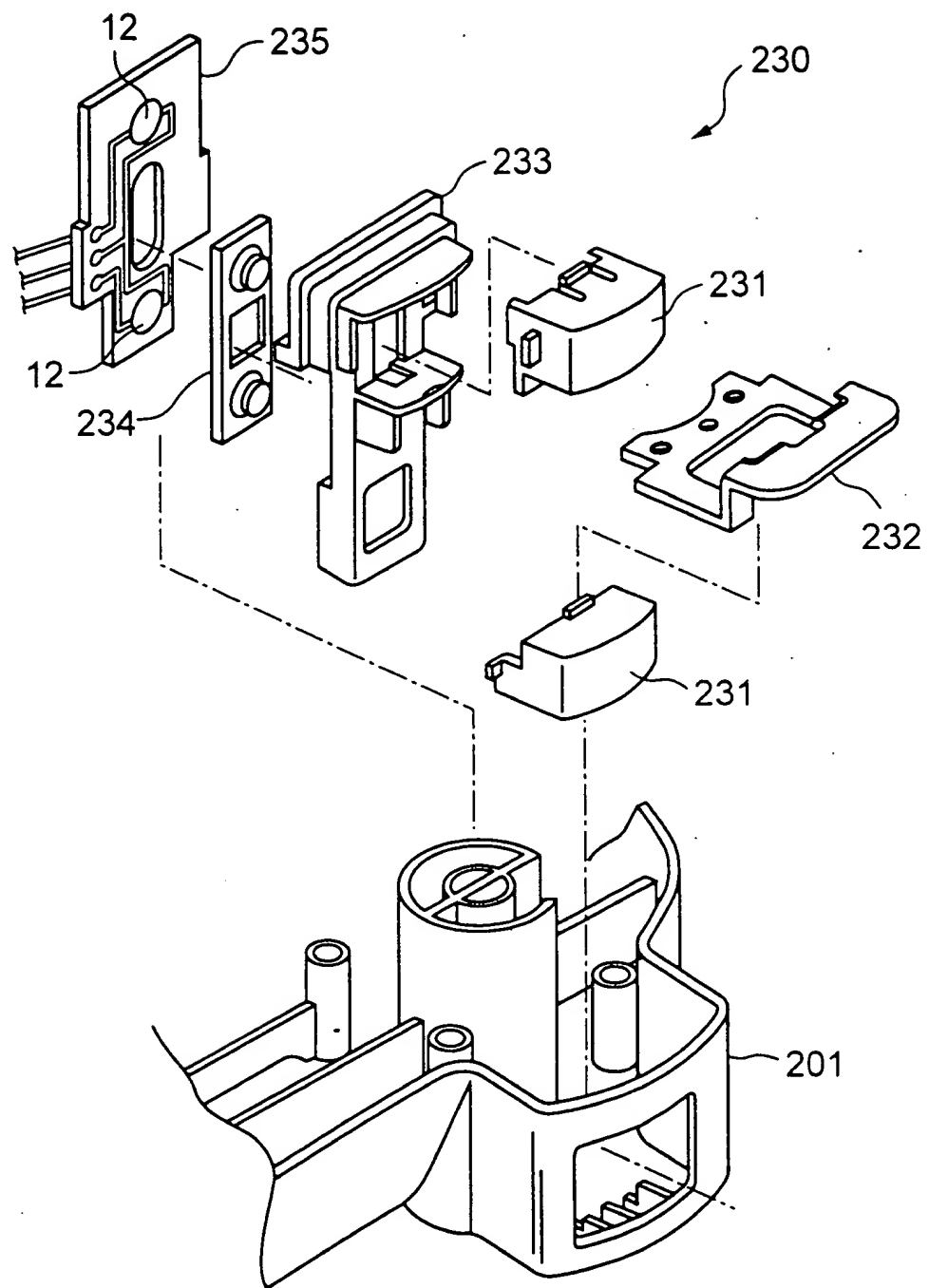


FIG. 18